

II - 11 たわみ角一端モーメント関係式による二方向連続板の解法

九州大学 教授 山崎徳也
 助手 樗木 武
 学生 横田 漢

I. 緒言

連続板の理論解析に関する研究は、今日まで多くの人々により行われてきた。可成り相対する二辺にて単純支持される一方向連続板に関しては岡元北海⁽¹⁾、成岡昌夫氏⁽²⁾等の研究があり、またポアソン比が零で、かつ等分布荷重を受ける二と二方向連続板に関しては東洋一氏⁽³⁾の研究がある。

著者等もまた連続板の解法に関して一連の研究を行、二つが、不論文はその第一報として任意等直荷重が作用する二方向等方性連続板の解法を提示するものである。可成り板に関するポアソン比の項をも含めたたわみ角一端モーメント関係式を誘導し、これを用いて連続板を解くものとして、上記の成岡氏の一方向連続板はその特例として取り扱うべきである。

II. たわみ角一端モーメント関係式の誘導

(1) 弾性曲面

等方性平面板の基礎微分方程式は次式で表わされる。

$$\frac{\partial^4 w}{\partial x^4} + 2 \frac{\partial^4 w}{\partial x^2 \partial y^2} + \frac{\partial^4 w}{\partial y^4} = \frac{p(x, y)}{D} \quad (1)$$

ただし w : 板の垂直たわみ, $p(x, y)$: 板に作用する任意等直荷重強度, $D = \frac{E h^3}{12(1-\nu^2)}$

E : 板の弾性係数, ν : ポアソン比, h : 板の厚み,

式(1)の特解を w_0 , 余函数を w_1 とすれば式(1)の一般解は次式で表わされる。

$$w = w_0 + w_1 \quad (2)$$

今 w_0 と次のごとく仮定する。 $w_0 = \sum_m \sum_n C_{mn} \sin \frac{m\pi}{a} x \sin \frac{n\pi}{a} y \quad (3)$

また $p(x, y)$ を二重正弦フーリエ級数で近似すれば次の通りである。

$$p(x, y) = \sum_m \sum_n R_{mn} \sin \frac{m\pi}{a} x \sin \frac{n\pi}{a} y \quad (4)$$

式(3), 式(4)を式(1)に代入すれば, C_{mn} が求まり次のごとくなる。

$$C_{mn} = \frac{R_{mn}}{D \pi^4 \left(\frac{m^2}{a^2} + \frac{n^2}{a^2} \right)^2} \quad (5)$$

他方 w_1 に関しては次式を仮定する。

$$w_1 = \sum_m Y_m(y) \sin \frac{m\pi}{a} x + \sum_n X_n(x) \sin \frac{n\pi}{a} y \quad (6)$$

式(6)を式(1)の付随方程式に代入すれば, $X_n(x), Y_m(y)$ とし次式をうる。

$$X_n(x) = (A_n^1 + B_n^1 x) \sinh \frac{m\pi}{a} x + (C_n^1 + D_n^1 x) \cosh \frac{m\pi}{a} x, \quad Y_m(y) = (A_m^2 + B_m^2 y) \sinh \frac{m\pi}{a} y + (C_m^2 + D_m^2 y) \cosh \frac{m\pi}{a} y \quad (7)$$

以上式(2), (3), (5), (6), (7)より等方性平面板の弾性曲面 w がえられ次式とらる。

$$w = \sum_m \left\{ (A_m^1 + B_m^1 y) \sinh \frac{m\pi}{a} y + (C_m^1 + D_m^1 x) \cosh \frac{m\pi}{a} y \right\} \sin \frac{m\pi}{a} x + \sum_n \left\{ (A_n^2 + B_n^2 x) \sinh \frac{n\pi}{a} x + (C_n^2 + D_n^2 y) \cosh \frac{n\pi}{a} y \right\} \sin \frac{n\pi}{a} y + \sum_m \sum_n \frac{R_{mn}}{D \pi^4 \left(\frac{m^2}{a^2} + \frac{n^2}{a^2} \right)^2} \sin \frac{m\pi}{a} x \sin \frac{n\pi}{a} y \quad (8)$$

ただし $A_m^1 \sim D_m^1, A_n^2 \sim D_n^2$ は境界条件より求まる積分定数である。

(2) たわみ角一端モーメント関係式の誘導

図-1に示すごとく四辺単純支持の矩形板に任意無直荷重 \$p\$ は用ひながら、端モーメント \$M_A, M_B, M_C, M_D\$ が作用し、それぞれこの辺の交点況下 \$S_A, S_B, S_C, S_D\$ を起す場合の境界条件は次のごとくである。

$$\begin{aligned}
 x=0: & (w)_{x=0} = S_A = \sum_n S_{An} \sin \frac{n\pi}{a} y, \quad -D \left(\frac{\partial^2 w}{\partial x^2} + \nu \frac{\partial^2 w}{\partial y^2} \right)_{x=0} = M_A = \sum_n M_{An} \sin \frac{n\pi}{a} y, \\
 x=a: & (w)_{x=a} = S_B = \sum_n S_{Bn} \sin \frac{n\pi}{a} y, \quad -D \left(\frac{\partial^2 w}{\partial x^2} + \nu \frac{\partial^2 w}{\partial y^2} \right)_{x=a} = M_B = \sum_n M_{Bn} \sin \frac{n\pi}{a} y, \\
 y=0: & (w)_{y=0} = S_C = \sum_m S_{Cm} \sin \frac{m\pi}{a} x, \quad -D \left(\frac{\partial^2 w}{\partial x^2} + \nu \frac{\partial^2 w}{\partial y^2} \right)_{y=0} = M_C = \sum_m M_{Cm} \sin \frac{m\pi}{a} x, \\
 y=b: & (w)_{y=b} = S_D = \sum_m S_{Dm} \sin \frac{m\pi}{a} x, \quad -D \left(\frac{\partial^2 w}{\partial x^2} + \nu \frac{\partial^2 w}{\partial y^2} \right)_{y=b} = M_D = \sum_m M_{Dm} \sin \frac{m\pi}{a} x,
 \end{aligned} \quad (9)$$

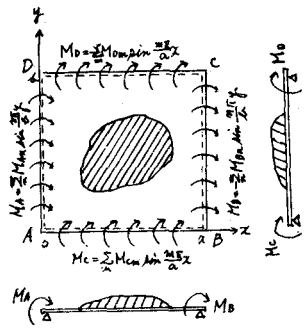


図-1

式(9)に式(8)を代入してえられる諸式を連立に解けば、 A_m^y

$$\begin{aligned}
 & \sim D_m^y, \quad A_n^x \sim D_n^x \text{ が求められ、次式のごとくなる。} \\
 A_n^y = & -\frac{b(M_{Cn} + M_{Dn} \cosh \lambda_n)}{2D\alpha_n \sinh \lambda_n} - \frac{S_{Cn}}{2 \sinh \lambda_n} \left\{ \frac{(1-\nu)\lambda_n}{2} + \cosh \lambda_n \right\} + \frac{S_{Dn}}{2 \sinh \lambda_n} \left\{ \frac{(1-\nu)\lambda_n \cosh \lambda_n}{2} + 1 \right\} \\
 B_n^y = & -\frac{M_{Cn}}{2D\alpha_n} - \frac{(1-\nu)\alpha_n}{2} S_{Cn}, \quad C_n^y = S_{Cn}, \quad D_n^y = \frac{M_{Cn} \cosh \lambda_n + M_{Dn}}{2D\alpha_n \sinh \lambda_n} + \frac{(1-\nu)\alpha_n}{2 \sinh \lambda_n} (S_{Cn} \cosh \lambda_n - S_{Dn}) \\
 A_n^x = & -\frac{a(M_{An} + M_{Bn} \cosh \lambda_n)}{2D\beta_n \sinh \lambda_n} - \frac{S_{An}}{2 \sinh \lambda_n} \left\{ \frac{(1-\nu)\lambda_n}{2} + \cosh \lambda_n \right\} + \frac{S_{Bn}}{2 \sinh \lambda_n} \left\{ \frac{(1-\nu)\lambda_n \cosh \lambda_n}{2} + 1 \right\} \\
 B_n^x = & -\frac{M_{An}}{2D\beta_n} - \frac{(1-\nu)\beta_n}{2} S_{An}, \quad C_n^x = S_{An}, \quad D_n^x = \frac{M_{An} \cosh \lambda_n + M_{Bn}}{2D\beta_n \sinh \lambda_n} + \frac{(1-\nu)\beta_n}{2 \sinh \lambda_n} (S_{An} \cosh \lambda_n - S_{Bn})
 \end{aligned} \quad (10)$$

$K \leq L \quad \alpha_n = \frac{n\pi}{a}, \quad \lambda_n = \frac{n\pi}{a} b, \quad \beta_n = \frac{n\pi}{a}, \quad \gamma_n = \frac{n\pi}{a}$

式(10)を式(8)に代入すれば、図-1のごとく矩形板の弾性曲面 \$w\$ がえられることとなる。

又図-1に示す矩形板において \$AD, BC\$ 辺における反り角は一般 \$K\$ の函数であり、\$AB, DC\$ 辺における反り角は \$L\$ の函数であるが、これらの反り角を代数函数で表わすとは困難であるゆえ、フーリエ級数展開で近似する。すなわち

$$\left(\frac{\partial w}{\partial x} \right)_{x=0} = \sum_n \theta_{An} \sin \frac{n\pi}{a} y, \quad \left(\frac{\partial w}{\partial x} \right)_{x=a} = \sum_n \theta_{Bn} \sin \frac{n\pi}{a} y, \quad \left(\frac{\partial w}{\partial y} \right)_{y=0} = \sum_m \theta_{Cm} \sin \frac{m\pi}{a} x, \quad \left(\frac{\partial w}{\partial y} \right)_{y=b} = \sum_m \theta_{Dm} \sin \frac{m\pi}{a} x \quad (11)$$

他方式(8)の \$x, y\$ の第一次微係数を取り、各辺の座標値を代入すればそれぞれこの辺に関する反り角がえられるゆえ、これを式(11)の各式左辺に代入しかつ、式(10)の結果を用いれば \$\theta_{An}, \theta_{Bn}, \theta_{Cm}, \theta_{Dm}\$ と \$M_{An}, M_{Bn}, M_{Cm}, M_{Dm}, S_{An}, S_{Bn}, S_{Cm}, S_{Dm}\$ との関係式が求まり、これを演算の上整理すれば、図-1のごとく矩形板を構成される二方向連続板の解法に用いる反り角—端モーメント関係式が次のごとくえられる。

$$\begin{aligned}
 \theta_{An} = & \sum_n \frac{M_{An}}{D\beta_n} C(\gamma_n) + \frac{M_{Bn}}{D\beta_n} d(\gamma_n) + \sum_m \frac{M_{Cm}}{D\alpha} \Delta(\alpha_m, \beta_n) + \sum_m \frac{(-1)^m M_{Dm}}{D\alpha} \Delta(\alpha_m, \beta_n) - \beta_n g(\gamma_n) S_{An} \\
 & + \beta_n h(\gamma_n) S_{Bn} + \sum_m \frac{S_{Cm}}{\alpha} t(\alpha_m, \beta_n) - \sum_m \frac{(-1)^m S_{Dm}}{\alpha} t(\alpha_m, \beta_n) + \sum_m \alpha_m f_{mn}, \\
 \theta_{Bn} = & \frac{M_{An}}{D\beta_n} d(\gamma_n) + \frac{M_{Bn}}{D\beta_n} C(\gamma_n) + \sum_m \frac{(-1)^m M_{Cm}}{D\alpha} \Delta(\alpha_m, \beta_n) + \sum_m \frac{(-1)^{m+n} M_{Dm}}{D\alpha} \Delta(\alpha_m, \beta_n) - \beta_n h(\gamma_n) S_{An} \\
 & + \beta_n g(\gamma_n) S_{Bn} + \sum_m \frac{(-1)^m S_{Cm}}{\alpha} t(\alpha_m, \beta_n) - \sum_m \frac{(-1)^{m+n} S_{Dm}}{\alpha} t(\alpha_m, \beta_n) + \sum_m (-1)^m \alpha_m f_{mn}, \\
 \theta_{Cm} = & \sum_n \frac{M_{An}}{D\alpha} \Delta(\alpha_m, \beta_n) + \sum_n \frac{(-1)^n M_{Bn}}{D\alpha} \Delta(\alpha_m, \beta_n) + \frac{M_{Cm}}{D\alpha_m} C(\lambda_m) + \frac{M_{Dm}}{D\alpha_m} d(\lambda_m) + \sum_n \frac{S_{An}}{\alpha} t(\alpha_m, \beta_n) \\
 & - \sum_n \frac{(-1)^n S_{Bn}}{\alpha} t(\alpha_m, \beta_n) - \alpha_m g(\lambda_m) S_{Cm} + \alpha_m h(\lambda_m) S_{Dm} + \sum_n \beta_n f_{mn}, \\
 \theta_{Dm} = & \sum_n \frac{(-1)^n M_{An}}{D\alpha} \Delta(\alpha_m, \beta_n) + \sum_n \frac{(-1)^{n+m} M_{Bn}}{D\alpha} \Delta(\alpha_m, \beta_n) + \frac{M_{Cm}}{D\alpha_m} d(\lambda_m) + \frac{M_{Dm}}{D\alpha_m} C(\lambda_m) + \sum_n \frac{(-1)^n}{\alpha} S_{An} t(\alpha_m, \beta_n) \\
 & - \sum_n \frac{(-1)^{m+n} S_{Bn}}{\alpha} t(\alpha_m, \beta_n) - \alpha_m h(\lambda_m) S_{Cm} + \alpha_m g(\lambda_m) S_{Dm} + \sum_n (-1)^n \beta_n f_{mn},
 \end{aligned} \quad (12)$$

$$\begin{aligned}
D_{0m} &= \sum_n \frac{2\beta_n}{DQ \cdot G(\alpha_m, \beta_n)} \left\{ (-1)^n \alpha_m - J(\alpha_m, \beta_n) \frac{K(\alpha_m)}{A(\alpha_m)} \right\} M_{0m} + \sum_n \frac{2(-1)^n \beta_n}{DQ \cdot G(\alpha_m, \beta_n)} \left\{ (-1)^n \alpha_m - J(\alpha_m, \beta_n) \frac{K(\alpha_m)}{A(\alpha_m)} \right\} M_{0m} \\
&+ \frac{(3+\nu)(1-\nu) \sinh^2 \lambda_m + 4 + \lambda_m^2 (1-\nu)^2}{2DQ(1-\nu) \cdot A(\alpha_m)} M_{0m} + \sum_n \frac{2\alpha_m \beta_n}{Q \cdot G(\alpha_m, \beta_n)} \left\{ U(\alpha_m, \beta_n) - \beta_n^2 (1-\nu) \frac{K(\alpha_m)}{A(\alpha_m)} \right\} S_{0m} \\
&- \sum_n \frac{2(-1)^n \alpha_m \beta_n}{Q \cdot G(\alpha_m, \beta_n)} \left\{ U(\alpha_m, \beta_n) - \beta_n^2 (1-\nu) \frac{K(\alpha_m)}{A(\alpha_m)} \right\} S_{0m} + \frac{\alpha_m V(\alpha_m)}{2A(\alpha_m)} S_{0m} + \sum_n \beta_n \left\{ (-1)^n - \frac{J(\alpha_m, \beta_n) \cdot K(\alpha_m)}{\alpha_m \cdot A(\alpha_m)} \right\} f_{0m} \\
K & \leq E(\alpha_m, \beta_n) = \beta_n^2 \{ (2-\nu) \alpha_m^2 + \beta_n^2 \} \sinh^2 \lambda_m, \quad G(\alpha_m, \beta_n) = \alpha_m^2 + \beta_n^2, \quad F(\alpha_m, \beta_n) = \alpha_m^2 \beta_n^2 (1-\nu)^2 \{ (2-\nu) \alpha_m^2 + \beta_n^2 \} \sinh^2 \lambda_m \\
Q(\alpha_m) &= 2 \cosh \lambda_m \sinh \lambda_m + \{ \cosh \lambda_m - (-1)^n \} \{ (1+\nu) \sinh \lambda_m - (-1)^n \lambda_m (1-\nu) \}, \quad J(\alpha_m, \beta_n) = \frac{(2-\nu) \alpha_m^2 + \beta_n^2}{\alpha_m (1-\nu)} \\
H(\alpha_m, \beta_n) &= \frac{4\beta_n}{\alpha_m} (\lambda_m \cosh \lambda_m + \frac{1+\nu}{1-\nu} \sinh \lambda_m), \quad I(\alpha_m, \beta_n) = \lambda_m (1-\nu) (-1)^n - (3+\nu) \sinh \lambda_m - \frac{(3+\nu)(1-\nu) \alpha_m^2 \sinh \lambda_m}{\alpha_m^2 + \beta_n^2} \\
K(\alpha_m) &= \lambda_m (1-\nu) \cosh \lambda_m + (1+\nu) \sinh \lambda_m, \quad U(\alpha_m, \beta_n) = (-1)^n \{ \alpha_m^2 + (2-\nu) \beta_n^2 \}, \\
V(\lambda_m) &= (1+\nu)(3+\nu) \sinh^2 \lambda_m - \lambda_m^2 (1-\nu)^2
\end{aligned}$$

IV. 連続板の解法

連続はりでは各節点における節点モーメントの釣合条件式と片方み角の連続条件式とを連立し解くことによりその解がえられすが、本題の二方向連続板も同様の手法によって解もう。右図より図-3(a)に示す連続板において節線*i-i'* (7ル-ム)の節点に該当し単位板の接線線*o-o'*に於ける節線モーメントの釣合条件式が(図-3(a)参照) $M_{ick} + M_{i'jk} = 0$ のいかんにかかわらず成立せねばならぬことから次式をうる。

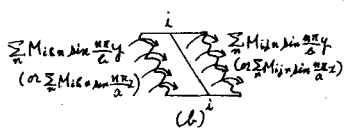
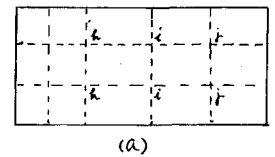


図-3

$$M_{ick} + M_{i'jk} = 0 \quad (17)$$

他方、節線*i-i'*上の任意点における片方み角 θ_{ik} , $\theta_{i'jk}$ が $M_{ick} + M_{i'jk} = 0$ のいかんにかかわらず等しくなければならぬことから次式をうる。

$$\theta_{ik} = \theta_{i'jk} \quad (18)$$

式(17), および自由辺を含まない区間に対しては式(12)を、自由辺を含む区間に対しては式(16)を式(18)に代入してえられ3諸式を連立し解けば、二方向連続板が解けることとなる。

V. 結言

IVで与えられる連立方程式は、式(12), 式(16)の片方み角一端モーメント関係式から明らかとなつて、簡単な多元一次連立方程式ではなくて未知数の単独項とその級数和の項との和で表わされるので、二方向連続板の解法は試算による収束計算を行う必要があり、かなり面倒であるが、電子計算機の発達した今日ではこれとして問題とすべきはあらうない。

本論文に示した方法は二方向等方性連続板の解法であるが、さらに二方向直交異方性連続板および板ラメン、また相対する辺が自由であることと一方向連続板等の解法にも適用可能であり、これらについては逐次発表の予定である。

(文献) (1) 岡元北海: 弾性梁に支持せし連続板の解法並に弾性梁のわいりモーメントが連続板に及ぼす影響について; 土木学会論文集第19号, 昭和29年4月, 北海道工試験所報告第15号, 昭和47年7月
(2) 成岡昌夫: 捩角核度法による一方向連続板の解法, 土木学会論文集第4号, 昭和24年6月
(3) 東洋一: 連続板に関する研究(第1報), 建築学会研究報告第20号
連続板に関する研究(第2報), 建築学会研究報告第22号